

сообщения  
объединенного  
института  
ядерных  
исследований  
дубна

2  
†

1535 / 2-80

7/4-80  
P2-80-61

М.Д.Матеев, М.В.Чижов

О НЕКОТОРЫХ СЛЕДСТВИЯХ  
КВАНТОВОЙ ЭЛЕКТРОДИНАМИКИ  
С ФУНДАМЕНТАЛЬНОЙ ДЛИНОЙ

1980

## § I. Введение

В работах [1,2] была рассмотрена модель квантовой электродинамики, содержащая новую универсальную постоянную - фундаментальную длину  $\ell$ . Соответствующий лагранжиан имеет вид:

$$\begin{aligned} \mathcal{L}(x) = & i \bar{\Psi}(x) \sigma_0 \otimes \not{\gamma} \Psi(x) - m \bar{\Psi}(x) \Psi(x) - \frac{1}{4} F_{\mu\nu}(x) F^{\mu\nu}(x) - \\ & - e \bar{\Psi}(x) \not{A} \Psi(x) - \frac{ie\ell}{4} \cos \theta_0 \bar{\Psi}(x) \sigma_0 \otimes \gamma^5 \sigma_{\mu\nu} \Psi(x) F^{\mu\nu}(x) + \quad (\text{I.1}) \\ & + \frac{e\ell}{4} \sin \theta_0 \bar{\Psi}(x) \sigma_0 \otimes \sigma_{\mu\nu} \Psi(x) F^{\mu\nu}(x) + \\ & + \frac{e^2 \ell^2}{4} \bar{\Psi}(x) \sigma_2 \otimes \gamma_\mu \Psi(x) \cdot \bar{\Psi}(x) \sigma_3 \otimes \gamma^\mu \Psi(x), \end{aligned}$$

где

$$\Psi(x) = \begin{pmatrix} \Psi_1(x) \\ \Psi_2(x) \end{pmatrix} \quad (\text{I.2})$$

представляет собой 8-компонентный спинор, описывающий два типа спинорных частиц (например,  $e$  и  $\mu$ ), величины  $\sigma_0 \otimes \gamma^\mu$ ,  $\sigma_1 \otimes \gamma^\mu$  и т.п. суть  $8 \times 8$  матрицы вида  $\begin{pmatrix} \gamma^\mu & 0 \\ 0 & \gamma^\mu \end{pmatrix}$ ,  $\begin{pmatrix} 0 & \gamma^\mu \\ \gamma^\mu & 0 \end{pmatrix}$  и т.п., а параметр  $\theta_0$  выражается через затравочную массу  $m$  и фундаментальную длину:

$$\sin \theta_0 = \frac{\sqrt{1 + m^2 \ell^2} - 1}{m \ell} \quad (\text{I.3})$$

Лагранжиан (I.1) остается инвариантным при дискретном преобразовании

$$\Psi(x) \rightarrow \sigma_2 \Psi(x) = \begin{pmatrix} 0 & -i \\ i & 0 \end{pmatrix} \begin{pmatrix} \Psi_1(x) \\ \Psi_2(x) \end{pmatrix}. \quad (\text{I.4})$$

Как показано в [3], боголюбовский механизм спонтанного нарушения  $\sigma_2$ -симметрии генерирует расщепление масс в дублете (I.2). Соответствующая "физическая" волновая функция  $\begin{pmatrix} \Psi_1 \\ \Psi_2 \end{pmatrix}_{phys}$  связана с первоначальной волновой функцией (I.2) унитарным преобразованием

$$\begin{pmatrix} \Psi_1(x) \\ \Psi_2(x) \end{pmatrix}_{phys} = \sqrt{\frac{\sqrt{2}-\varepsilon}{2\sqrt{2}}} \begin{pmatrix} 1 - \frac{i\varepsilon\sigma_2}{\sqrt{2}-\varepsilon} \end{pmatrix} \begin{pmatrix} \Psi_1(x) \\ \Psi_2(x) \end{pmatrix}, \quad (I.5)$$

где  $\varepsilon = \pm 1$ .  
Для  $\mu e$ -системы

$$\begin{pmatrix} \bar{\Psi}_1(x) \\ \bar{\Psi}_2(x) \end{pmatrix}_{phys} = \begin{pmatrix} \bar{\Psi}_e \\ \bar{\Psi}_\mu \end{pmatrix}. \quad (I.6)$$

Лагранжиан (I.I) в этом случае может быть записан в виде:

$$\begin{aligned} \mathcal{L}(x) = & i\bar{\Psi}(x)\sigma_0 \not{\partial} \Psi(x) - \bar{\Psi}(x)\mathcal{M}\Psi(x) - \frac{1}{4}F_{\mu\nu}(x)F^{\mu\nu}(x) - \\ & - e\bar{\Psi}(x)\not{A}(x)\Psi(x) - \frac{m_\mu - m_e}{2}\bar{\Psi}(x)\sigma_3\Psi(x) - \\ & - \frac{ie\ell}{4}\cos\theta_0\bar{\Psi}(x)\sigma_0 \otimes \gamma^5 \sigma_{\mu\nu}\Psi(x)F^{\mu\nu}(x) + \\ & + \frac{e\ell}{4}\sin\theta_0\bar{\Psi}(x)\sigma_0 \otimes \sigma_{\mu\nu}\Psi(x)F^{\mu\nu}(x) - \\ & - \frac{e^2\ell^2}{8}[\bar{\Psi}(x)\sigma_3 \otimes \gamma_\mu\Psi(x)]^2 + \frac{e^2\ell^2}{8}[\bar{\Psi}(x)\sigma_1 \otimes \gamma_\mu\Psi(x)]^2, \end{aligned} \quad (I.7)$$

где  $\Psi(x) = \begin{pmatrix} \Psi_e \\ \Psi_\mu \end{pmatrix}$ ,  $\mathcal{M} = \begin{pmatrix} m_e & 0 \\ 0 & m_\mu \end{pmatrix}$ ,  $(I.8)$

$$\sin\theta_0 = 2 \frac{\sqrt{1 + \frac{1}{4}(m_e + m_\mu)^2\ell^2} - 1}{m_e + m_\mu}. \quad (I.9)$$

По сравнению с обычной КЭД лагранжиан (I.7) содержит дополнительные члены, которым в диаграммной технике должны быть сопоставлены новые вершины. Сформулируем необходимые правила соответствия (см. табл.).

## § 2. Сечения рассеяния в рассматриваемой модели КЭД

### A. Сечение процесса $e^-e^- \rightarrow e^-e^-$

В этот процесс дают вклад диаграммы, изображенные на рис. I. Обычное выражение для сечения получается из диаграмм а) и е).

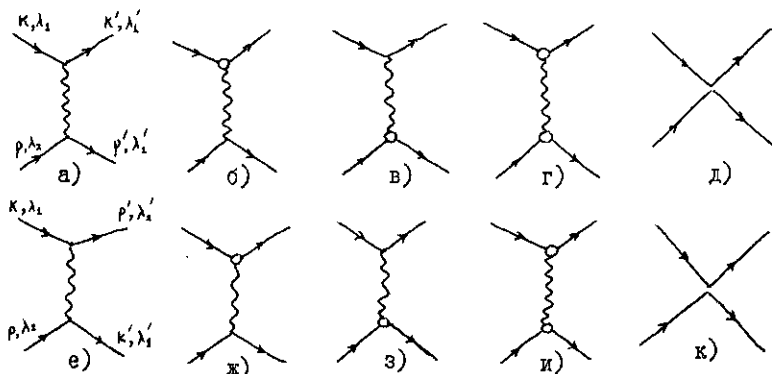


Рис. 1

Таблица

Вершины	Фактор в матричном элементе	Элемент диаграммы
Вершина с индексом суммирования $\mu$ , в которую входят электронная линия $p$ и фотонная линия $k$ и выходит электронная линия $p'$ .	$g k^\mu \sigma_{\mu\nu}$ , где $g = \frac{1}{2} l (\sin \theta_c - i \gamma^5 \cos \theta_c)$	
Массовый контрчлен	$-\frac{i}{2} (m_\mu - m_e) \sigma_3$	
Четырехфермионные вершины:		
а) сохраняющие лептонное число	$i \frac{e^2 l^2}{4}$	
	$-i \frac{e^2 l^2}{8}$	
б) не сохраняющие лептонное число	$i \frac{e^2 l^2}{8}$	

При высоких энергиях  $E_{сум}^2 \gg m_e^2$  получаем для дифференциального сечения рассеяния электронов с начальными поляризациями  $\lambda_1$  и  $\lambda_2$  в электроны с конечными поляризациями  $\lambda'_1, \lambda'_2$ :

$$\begin{aligned} \left(\frac{d\sigma}{d\Omega}\right)_{\lambda_1, \lambda_2 \rightarrow \lambda'_1, \lambda'_2}^{e^- \rightarrow e^- e^-} &= \left(\frac{d\sigma_0}{d\Omega}\right)_{\lambda_1, \lambda_2 \rightarrow \lambda'_1, \lambda'_2}^{e^- \rightarrow e^- e^-} + \ell^2 \frac{\alpha^2}{32 E^2} \left\{ (1 - \lambda_1 \lambda_2 \lambda'_1 \lambda'_2) s \left( \frac{u}{t} + \frac{t}{u} - 2 \right) + \right. \\ &+ (1 + \lambda_1 \lambda'_1)(1 + \lambda_2 \lambda'_2) \frac{1}{4t} \left( \frac{s^2}{2u} - s^2 + 2ut \right) + (\lambda_1 + \lambda'_1)(\lambda_2 + \lambda'_2) \frac{1}{4t} \left( \frac{s^2}{2u} - s^2 - 2ut \right) + \\ &+ (1 + \lambda_1 \lambda'_1)(1 + \lambda_2 \lambda'_2) \frac{1}{4u} \left( \frac{s^2}{2t} - s^2 + 2ut \right) + (\lambda_1 + \lambda'_1)(\lambda_2 + \lambda'_2) \frac{1}{4u} \left( \frac{s^2}{2t} - s^2 - 2ut \right) \left. \right\} + \\ &+ \ell^4 \frac{\alpha^2}{(32)^2 E^2} \left\{ (1 + \lambda_1 \lambda'_1)(1 + \lambda_2 \lambda'_2) \left( \frac{u^2}{2} + t^2 \right) - (\lambda_1 + \lambda'_1)(\lambda_2 + \lambda'_2) \left( \frac{u^2}{2} + t^2 - 2s^2 \right) + \right. \\ &+ (1 + \lambda_1 \lambda'_2)(1 + \lambda_2 \lambda'_1) \left( \frac{t^2}{2} + u^2 \right) - (\lambda_1 + \lambda'_2)(\lambda_2 + \lambda'_1) \left( \frac{t^2}{2} + u^2 - 2s^2 \right) + \\ &+ (1 - \lambda_1 \lambda'_1)(1 - \lambda_2 \lambda'_2) (s - u)^2 + (1 - \lambda_1 \lambda'_1)(1 - \lambda_2 \lambda'_2) (s - t)^2 + \\ &+ \left. \left[ (1 + \lambda_1 \lambda_2)(1 + \lambda'_1 \lambda'_2) - (\lambda_1 + \lambda_2)(\lambda'_1 + \lambda'_2) \right] (s - u)(s - t) \right\}, \end{aligned} \quad (2.1)$$

где \*

$$\begin{aligned} \left(\frac{d\sigma_0}{d\Omega}\right)_{\lambda_1, \lambda_2 \rightarrow \lambda'_1, \lambda'_2}^{e^- \rightarrow e^- e^-} &= \frac{\alpha^2}{32 E^2} \left\{ (1 + \lambda_1 \lambda'_1)(1 + \lambda_2 \lambda'_2) \frac{u^2 - s^2}{u t^2} - \right. \\ &- (\lambda_1 + \lambda'_1)(\lambda_2 + \lambda'_2) \frac{u^2 + s^2}{u t^2} + \\ &+ (1 + \lambda_1 \lambda'_2)(1 + \lambda_2 \lambda'_1) \frac{t^2 - s^2}{t u^2} - \\ &- \left. (\lambda_1 + \lambda'_2)(\lambda_2 + \lambda'_1) \frac{t^2 + s^2}{t u^2} \right\}, \end{aligned} \quad (2.2)$$

$\alpha = \frac{e^2}{\pi}$ , а  $s, t$  и  $u$  - инвариантные переменные Манделштама.

Пусть поляризация конечных частиц не фиксируется. Тогда можно составить асимметричную комбинацию, которая в обычной теории исчезает \*\*):

\*) Здесь и в дальнейшем  $\left(\frac{d\sigma_0}{d\Omega}\right)$  - дифференциальное сечение, которое дается стандартной КЭД.

\*\*\*) В формулах (2.3), (2.7) и (2.8) (см. раздел В) опущены члены, порядок которых меньше, чем  $\ell^2 E^2$ .

$$\frac{(\sin \frac{\theta}{2} + \cos \frac{\theta}{2}) \left( \frac{d\sigma}{d\Omega} \right)_{\lambda_1, \lambda_2} - \left( \frac{d\sigma}{d\Omega} \right)_{\lambda_1, -\lambda_2}}{(\sin \frac{\theta}{2} + \cos \frac{\theta}{2}) \left( \frac{d\sigma}{d\Omega} \right)_{\lambda_1, \lambda_2} + \left( \frac{d\sigma}{d\Omega} \right)_{\lambda_1, -\lambda_2}} = \frac{(3 - 3\cos^2\theta + 7\cos^4\theta + \cos^6\theta) \sin^2\theta}{4(1 + 6\cos^2\theta + \cos^4\theta)} \ell^2 E^2 \quad (2.3)$$

здесь  $\lambda_1 = \pm 1$ ,  $E$  — энергия электрона в СИ,  $\theta$  — угол рассеяния.

Дифференциальное сечение для неполяризованных частиц имеет вид:

$$\left( \frac{d\sigma}{d\Omega} \right)_{\text{непол.}}^{e^-e^- \rightarrow e^-e^-} = \frac{\alpha^2}{4E^2} \frac{(3 + \cos^2\theta)^2}{\sin^4\theta} + \frac{3\alpha^2 \ell^2}{4} \frac{1 + 3\cos^2\theta}{\sin^2\theta} + \frac{\alpha^2 \ell^4 E^{-2}}{32} (15 - 2\cos^2\theta) \quad (2.4)$$

### Б. Сечение процесса $e^-e^+ \rightarrow e^-e^+$

Для дифференциального сечения процесса  $e^-e^+ \rightarrow e^-e^+$  имеем:

$$\begin{aligned} \left( \frac{d\sigma}{d\Omega} \right)_{\lambda_1, \lambda_2 \rightarrow \lambda'_1, \lambda'_2}^{e^-e^+ \rightarrow e^-e^+} &= \left( \frac{d\sigma_0}{d\Omega} \right)_{\lambda_1, \lambda_2 \rightarrow \lambda'_1, \lambda'_2}^{e^-e^+ \rightarrow e^-e^+} + \ell^2 \frac{\alpha^2}{32E^2} \left\{ (1 - \lambda_1 \lambda_2 \lambda'_1 \lambda'_2) u \left( \frac{s}{t} + \frac{t}{s} - 2 \right) + \right. \\ &+ (1 + \lambda_1 \lambda'_1) (1 + \lambda_2 \lambda'_2) \frac{t}{4t} \left( \frac{u^2}{2s} - u^2 + 2st \right) - (\lambda_1 + \lambda'_1) (\lambda_2 + \lambda'_2) \frac{t}{4t} \left( \frac{u^2}{2s} - u^2 - 2st \right) + \\ &+ (1 - \lambda_1 \lambda_2) (1 - \lambda'_1 \lambda'_2) \frac{t}{4s} \left( \frac{u^2}{2t} - u^2 + 2st \right) + (\lambda_1 - \lambda_2) (\lambda'_1 - \lambda'_2) \frac{t}{4s} \left( \frac{u^2}{2t} - u^2 - 2st \right) \left. \right\} + \\ &+ \ell^4 \frac{\alpha^2}{(32)^2 E^2} \left\{ (1 + \lambda_1 \lambda'_1) (1 + \lambda_2 \lambda'_2) \left( \frac{s^2}{2} + t^2 \right) + (\lambda_1 + \lambda'_1) (\lambda_2 + \lambda'_2) \left( \frac{s^2}{2} + t^2 - 2ut \right) + \right. \\ &+ (1 - \lambda_1 \lambda_2) (1 - \lambda'_1 \lambda'_2) \left( \frac{t^2}{2} + s^2 \right) - (\lambda_1 - \lambda_2) (\lambda'_1 - \lambda'_2) \left( \frac{t^2}{2} + s^2 - 2ut \right) + \\ &+ (1 - \lambda_1 \lambda'_1) (1 - \lambda_2 \lambda'_2) (s - u)^2 + (1 + \lambda_1 \lambda_2) (1 + \lambda'_1 \lambda'_2) (u - t)^2 + \\ &+ \left. \left[ (1 + \lambda_1 \lambda_2) (1 + \lambda'_1 \lambda'_2) - (\lambda_1 + \lambda_2) (\lambda_1 + \lambda'_1) \right] (u - s)(u - t) \right\}, \end{aligned} \quad (2.5)$$

где

$$\begin{aligned} \left( \frac{d\sigma_0}{d\Omega} \right)_{\lambda_1, \lambda_2 \rightarrow \lambda'_1, \lambda'_2}^{e^-e^+ \rightarrow e^-e^+} &= \frac{\alpha^2}{32E^2} \left\{ (1 + \lambda_1 \lambda'_1) (1 + \lambda_2 \lambda'_2) \frac{s^2 - u^2}{st^2} + (\lambda_1 + \lambda'_1) (\lambda_2 + \lambda'_2) \frac{s^2 + u^2}{s^2 t^2} + \right. \\ &+ (1 - \lambda_1 \lambda_2) (1 - \lambda'_1 \lambda'_2) \frac{t^2 - u^2}{ts^2} - (\lambda_1 - \lambda_2) (\lambda'_1 - \lambda'_2) \frac{t^2 + u^2}{ts^2} \left. \right\}. \end{aligned} \quad (2.6)$$

В данном случае также можно составить асимметричную комбинацию, исчезающую в пределе  $\ell \rightarrow 0$ :

$$\frac{(\sin \frac{\theta}{2} + \cos \frac{\theta}{2}) \left( \frac{d\sigma}{d\Omega} \right)_{\lambda_1, \lambda_2} - \left( \frac{d\sigma}{d\Omega} \right)_{\lambda_1, -\lambda_2}}{(\sin \frac{\theta}{2} + \cos \frac{\theta}{2}) \left( \frac{d\sigma}{d\Omega} \right)_{\lambda_1, \lambda_2} + \left( \frac{d\sigma}{d\Omega} \right)_{\lambda_1, -\lambda_2}} = \quad (2.7)$$

$$= \frac{(\cos^2 \theta - 5 \cos^4 \theta + 5 \cos^6 \theta - 17 \cos^8 \theta - 21 \cos^{10} \theta + 105 \cos^{12} \theta + 79 \cos^{14} \theta - 51)(1 - \cos \theta)}{16(1 + 6 \cos^2 \theta + \cos^4 \theta)} \ell^2 E^2.$$

Для  $\theta = \frac{\pi}{2}$  имеем отсюда:

$$\frac{\frac{1}{8} \left( \frac{d\sigma}{d\Omega} \right)_{\lambda_1 = \lambda_2} - \left( \frac{d\sigma}{d\Omega} \right)_{\lambda_1 = -\lambda_2}}{\frac{1}{8} \left( \frac{d\sigma}{d\Omega} \right)_{\lambda_1 = \lambda_2} + \left( \frac{d\sigma}{d\Omega} \right)_{\lambda_1 = -\lambda_2}} = -\frac{51}{16} \ell^2 E^2. \quad (2.8)$$

При энергиях  $\sim 200$  ГэВ в СЦИ проектируемого в ЦЕРНе большого электрон-позитронного ускорителя на встречных пучках (LEP) величина асимметрии изменяется в интервале от 1,4 до 0,13, если фундаментальную длину  $\ell$  варьировать в пределах от  $\frac{1}{300}$  до  $\frac{1}{1000}$  ГэВ $^{-1}$ .

Так как "неминимальное" взаимодействие спинорных частиц с электромагнитным полем не сохраняет спиральности, то дифференциальное сечение рассеяния электрона и позитрона с одинаковыми начальными поляризациями и последующим изменением значения спиральности последнего на обратное, в рассматриваемой модели КЭД отлично от нуля:

$$\left( \frac{d\sigma}{d\Omega} \right)_{\substack{\lambda_1 = \lambda_2 \\ \lambda_2 = -\lambda_2'}}^{e^+e^+ \rightarrow e^-e^+} = \frac{\alpha^2 \ell^2 (1 + \cos \theta)(3 - \cos \theta)^2}{16(1 - \cos \theta)} + \frac{9\alpha^2 \ell^4 E^2}{64} (1 + \cos \theta)^2. \quad (2.9)$$

Заметим, что первый член в (2.9) не зависит от энергии сталкивающихся частиц и, в принципе, может быть измерен на любой установке, имеющей большую светимость.

Дифференциальное сечение рассеяния неполяризованных частиц имеет вид:

$$\left( \frac{d\sigma}{d\Omega} \right)_{\text{неполар.}}^{e^+e^+ \rightarrow e^-e^+} = \frac{\alpha^2}{16E^2} \frac{(3 + \cos^2 \theta)^2}{(1 - \cos \theta)^2} + \frac{3\alpha^2 \ell^2 (1 + \cos \theta)(7 - 4 \cos \theta + \cos^2 \theta)}{16(1 - \cos \theta)} + \frac{\alpha^2 \ell^4 E^2}{64} (23 + 22 \cos \theta + 15 \cos^2 \theta). \quad (2.10)$$

### В. Сечение процесса аннигиляции $e^-e^+ \rightarrow \mu^- \mu^+$

Считая, как и прежде, что  $E_{\text{СЦИ}}^2 \gg m^2$ , находим:

$$\left( \frac{d\sigma}{d\Omega} \right)_{\lambda_1 \lambda_2 \rightarrow \lambda_1' \lambda_2'}^{e^+e^+ \rightarrow \mu^- \mu^+} = \left( \frac{d\sigma}{d\Omega} \right)_{\lambda_1 \lambda_2 \rightarrow \lambda_1' \lambda_2'}^{e^+e^+ \rightarrow \mu^+ \mu^+} + \frac{\alpha^2 \ell^2}{32E^2} \left\{ (1 - \lambda_1 \lambda_2 \lambda_1' \lambda_2') \frac{u \bar{t}}{s} + \right. \\ \left. + (1 - \lambda_1 \lambda_2)(1 - \lambda_1' \lambda_2') \frac{2u \bar{t} + \bar{t}^2}{4s} + (\lambda_1 - \lambda_2)(\lambda_1' - \lambda_2') \frac{2u \bar{t} - \bar{t}^2}{4s} \right\} + \frac{\alpha^2 \ell^4}{(32)^2 E^4} \left\{ (1 + \lambda_1 \lambda_2)(1 + \lambda_1' \lambda_2') (t - u)^2 + \right. \\ \left. + (1 - \lambda_1 \lambda_2)(1 - \lambda_1' \lambda_2') (t - u)^2 + \right. \\ \left. + (1 + \lambda_1 \lambda_2)(1 - \lambda_1' \lambda_2') (t - u)^2 + \right. \\ \left. + (1 - \lambda_1 \lambda_2)(1 + \lambda_1' \lambda_2') (t - u)^2 \right\}. \quad (2.11)$$

$$+ (1-\lambda_1\lambda_2)(1-\lambda_1'\lambda_2') \frac{2u^4+t^4}{2} + (\lambda_1-\lambda_2)(\lambda_1'-\lambda_2') \frac{2u^4-t^4}{2} + \\ + (1+\lambda_1\lambda_1')(1+\lambda_2\lambda_2') \left[ \frac{2u^2+s^2}{2} + (t-u)s \right] - (\lambda_1+\lambda_1')(\lambda_2+\lambda_2') \left[ \frac{2u^2-s^2}{2} - (t-u)s \right] \Big\} ,$$

где

$$\left( \frac{d\sigma_0}{d\Omega} \right)_{\lambda_1\lambda_2 \rightarrow \lambda_1'\lambda_2'}^{e^+e^+ \rightarrow \mu^-\mu^+} = \frac{\alpha^2}{32E^2} \left\{ (1-\lambda_1\lambda_2)(1-\lambda_1'\lambda_2') \frac{u^4+t^4}{s^2} + (\lambda_1-\lambda_2)(\lambda_1'-\lambda_2') \frac{u^4-t^4}{s^2} \right\} . \quad (2.12)$$

Если спиральности электрона и позитрона одинаковы  $\lambda_1 = \lambda_2$ , то процесс  $e^+e^+ \rightarrow \mu^-\mu^+$  запрещен в обычной КЭД (см. (2.12)). В нашем случае, однако, сечение отлично от нуля и дается формулой:

$$\left( \frac{d\sigma}{d\Omega} \right)_{\lambda_1 = \lambda_2}^{e^+e^+ \rightarrow \mu^-\mu^+} = \frac{\alpha^2 \theta^2}{8} \sin^2 \theta + \frac{\alpha^2 \theta^4 E^2}{16} (1 + 2 \cos \theta + 2 \cos^2 \theta) . \quad (2.13)$$

Для полного сечения имеем соответственно:

$$\left( \sigma_{tot} \right)_{\lambda_1 = \lambda_2}^{e^+e^+ \rightarrow \mu^-\mu^+} = \frac{\pi}{2} \alpha^2 \theta^2 + \frac{5\pi}{12} \alpha^2 \theta^4 E^2 . \quad (2.14)$$

### Г. Сечение процесса $e^-\mu^{\pm} \rightarrow e^-\mu^{\pm}$

Дифференциальное сечение данного процесса имеет вид:

$$\left( \frac{d\sigma}{d\Omega} \right)_{\lambda_1\lambda_2 \rightarrow \lambda_1'\lambda_2'}^{e^-\mu^{\pm} \rightarrow e^-\mu^{\pm}} = \left( \frac{d\sigma_0}{d\Omega} \right)_{\lambda_1\lambda_2 \rightarrow \lambda_1'\lambda_2'}^{e^-\mu^{\pm} \rightarrow e^-\mu^{\pm}} + \frac{\alpha^2 \theta^4}{32E^2} \left\{ (1-\lambda_1\lambda_2\lambda_1'\lambda_2') \frac{su}{t} + \right. \\ + (1+\lambda_1\lambda_1')(1+\lambda_2\lambda_2') \frac{1}{st} [3(s^2+u^2) \mp (s^2+u^2)] + (\lambda_1+\lambda_1')(\lambda_2+\lambda_2') \frac{1}{st} [3(s^2+u^2) \mp (s^2+u^2)] \Big\} + \quad (2.15) \\ + \frac{\alpha^2 \theta^4}{(32)^2 E^2} \left\{ (1+\lambda_1\lambda_1')(1+\lambda_2\lambda_2') \frac{s^2+u^2}{2} + (\lambda_1+\lambda_1')(\lambda_2+\lambda_2') \frac{s^2+u^2}{2} + [(1+\lambda_1\lambda_2')(1+\lambda_2\lambda_1') - \right. \\ \left. - (\lambda_1+\lambda_1')(\lambda_2+\lambda_2')] \left[ \frac{t}{2} \pm (s-u) \right] t + [(1+\lambda_1\lambda_1')(1+\lambda_2\lambda_2') \mp (\lambda_1+\lambda_1')(\lambda_2+\lambda_2')] \frac{1}{4} [(s^2+u^2) \mp (s^2+u^2)] \right\} ,$$

где

$$\left( \frac{d\sigma_0}{d\Omega} \right)_{\lambda_1\lambda_2 \rightarrow \lambda_1'\lambda_2'}^{e^-\mu^{\pm} \rightarrow e^-\mu^{\pm}} = \frac{\alpha^2}{32E^2} \left\{ (1+\lambda_1\lambda_1')(1+\lambda_2\lambda_2') \frac{s^2+u^2}{t^2} + (\lambda_1+\lambda_1')(\lambda_2+\lambda_2') \frac{s^2+u^2}{t^2} \right\} . \quad (2.16)$$

Для процесса с изменением значения спиральности одной из частиц на обратное (например, мюона) имеем:

$$\left( \frac{d\sigma}{d\Omega} \right)_{\lambda_2 = -\lambda_2'}^{e^-\mu^{\pm} \rightarrow e^-\mu^{\pm}} = \frac{\alpha^2 \theta^2}{4} \frac{1+\cos \theta}{1-\cos \theta} + \frac{\alpha^2 \theta^4 E^2}{128} [21+10\cos \theta + \cos^2 \theta \mp 4(1-\cos \theta)] . \quad (2.17)$$



Д. Глубоконеупругое рассеяние лептонов на адронах

В рассматриваемой нами модели КЭД при изучении глубоко-неупругого процесса необходимо учитывать дополнительные диаграммы Б, В и Г, показанные на рис. 2.

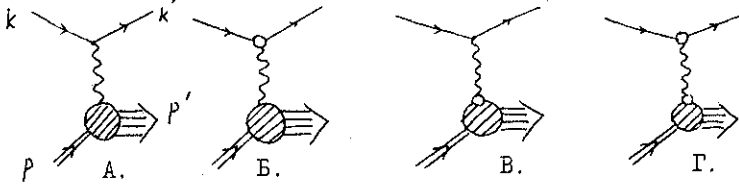


Рис. 2

Дифференциальное сечение с учетом новых диаграмм имеет вид:

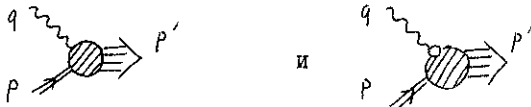
$$\left( \frac{d\sigma}{d\Omega dE'} \right)_{\lambda_1 \lambda_2} = \frac{\alpha^2}{q^4} \frac{E'}{E} \left[ (1 + \lambda_1 \lambda_2) \ell_{\alpha\beta}(kk') + i(\lambda_1 + \lambda_2) \varepsilon_{\alpha\beta\gamma\sigma} k^\gamma k'^\sigma - \alpha_\alpha \alpha_\beta (1 - \lambda_1 \lambda_2) \frac{\ell^2 q^2}{8} \right] \cdot W^{\alpha\beta} \quad (2.18)$$

Здесь введены следующие обозначения:

$$\begin{aligned} \ell_{\alpha\beta}(kk') &= k_\alpha k'_\beta + k_\beta k'_\alpha + g_{\alpha\beta} \frac{q^2}{2}, \\ \alpha_\alpha &= k_\alpha + k'_\alpha, \end{aligned} \quad (2.19)$$

$$W_{\alpha\beta} = (2\pi)^3 \sum_{P'} \langle P' | (J_\alpha^{em} + i q^\sigma J_{\beta\sigma})^\dagger | P' \rangle \langle P' | J_\alpha^{em} + i q^\sigma J_{\alpha\sigma} | P \rangle \delta(P+q-P'), \quad (2.20)$$

где  $J_\alpha^{em}$  и  $J_{\alpha\beta}$  идентифицированы с вершинами



соответственно, а  $\lambda_1$  и  $\lambda_2$  - поляризации лептона в начальном и конечном состояниях.

Структуру тензора  $W_{\alpha\beta}$  можно установить из соображений релятивистской инвариантности и сохранения электрического тока:

$$\begin{aligned} W_{\alpha\beta}(v, q^2) &= \left( -g_{\alpha\beta} + \frac{q_\alpha q_\beta}{q^2} \right) W_1(v, q^2) + \frac{1}{M^2} \left( P_\alpha - q_\alpha \frac{Pq}{q^2} \right) \left( P_\beta - q_\beta \frac{Pq}{q^2} \right) W_2(v, q^2) + \\ &+ \frac{i}{M^2} \varepsilon_{\alpha\beta\gamma\sigma} q^\sigma P^\sigma W_3(v, q^2). \end{aligned} \quad (2.21)$$

Подставляя  $W_{\alpha\beta}$  из (2.21) в формулу для сечения (2.18), получим

$$\begin{aligned} \left(\frac{d^2\sigma}{d\Omega dE'}\right)_{\lambda,\lambda_2} &= \sigma_M \left\{ (1+\lambda,\lambda_2) \left[ tg^2 \frac{\theta}{2} W_1 + \frac{1}{2} W_2 \right] - \right. \\ &\quad - (\lambda_1+\lambda_2) \frac{E+E'}{M} tg^2 \frac{\theta}{2} W_3 + \\ &\quad \left. + (1-\lambda,\lambda_2) \frac{E^2 q^2}{8} \left[ tg^2 \frac{\theta}{2} W_1 - \frac{(E+E')^2}{4EE' \cos^2 \frac{\theta}{2}} W_2 \right] \right\}, \end{aligned} \quad (2.22)$$

где  $\sigma_M = \frac{\alpha^2}{4E^2} \frac{\cos^2 \frac{\theta}{2}}{\sin^4 \frac{\theta}{2}}$  - сечение моттовского рассеяния.

Использование партонной модели приводит к следующей структуре  $W_{\alpha\beta}$ :

$$\begin{aligned} W_{\alpha\beta}(v, q^2) &= \frac{1}{2} M \int \frac{d^4 \hat{p}_i}{E_i} Sp \left[ \hat{p}_i (\gamma_\beta + i q \gamma_5 \sigma_{\beta\gamma}) \hat{p}_i (\gamma_\alpha + i q \gamma_5 \sigma_{\alpha\beta}) \right] \delta(p_\beta - p_i - q) \frac{f(x_i)}{x_i} dx_i = (2.23) \\ &= (-g_{\alpha\beta} + \frac{q_\alpha q_\beta}{q^2}) \tilde{W}_1(v, q^2) + \frac{1}{M^2} (\mu_\alpha - q_\alpha \frac{q_\alpha}{q^2}) (\mu_\beta - q_\beta \frac{q_\beta}{q^2}) (1 - \frac{q^2}{4}) \tilde{W}_2(v, q^2), \end{aligned}$$

где

$$\begin{aligned} \tilde{W}_1(v, q^2) &= \frac{1}{2M} f(x), \\ v \tilde{W}_2(v, q^2) &= x f(x), \end{aligned} \quad \text{зависят только от } x = -\frac{q^2}{2Mv}.$$

Сравнивая формулы (2.21) и (2.23), имеем

$$\begin{aligned} W_1(v, q^2) &= \tilde{W}_1(v, q^2), \\ W_2(v, q^2) &= (1 - \frac{q^2}{4}) \tilde{W}_2(v, q^2), \\ W_3(v, q^2) &= 0. \end{aligned} \quad (2.24)$$

Дифференциальное сечение для глубоконеупругого рассеяния в рамках партонной модели

$$\begin{aligned} \left(\frac{d^2\sigma}{d\Omega dE'}\right)_{\lambda,\lambda_2} &= \sigma_M \left\{ (1+\lambda,\lambda_2) \left[ tg^2 \frac{\theta}{2} \tilde{W}_1(v, q^2) + \frac{1}{2} (1 - \frac{q^2}{4}) \tilde{W}_2(v, q^2) \right] + \right. \\ &\quad \left. + (1-\lambda,\lambda_2) \frac{E^2 q^2}{8} \left[ tg^2 \frac{\theta}{2} \tilde{W}_1(v, q^2) - \frac{(E+E')^2}{4EE' \cos^2 \frac{\theta}{2}} (1 - \frac{q^2}{4}) \tilde{W}_2(v, q^2) \right] \right\} \end{aligned} \quad (2.25)$$

зависит лишь от билинейных комбинаций поляризаций частиц. Поэтому Р-нечетных эффектов в рассматриваемой модели КЭД не возникает.

Процесс с изменением спиральности начального лептона в обычной теории запрещен. Однако в нашем случае имеем:

$$\left( \frac{d^2\sigma}{\lambda\Omega dE'} \right)_{\lambda_1 = -\lambda_2} = \sigma_M \frac{\ell^2 q^2}{4} \left[ t_{ij}^2 \frac{\tilde{W}_2(\nu, q^2)}{2} - \frac{(E+E')^2}{4EE' \cos^2 \frac{\theta}{2}} \left( 1 - \frac{\ell^2 q^2}{4} \right) \tilde{W}_2(\nu, q^2) \right], \quad (2.26)$$

$$\lambda_i = \pm 1.$$

Дифференциальное сечение для неполяризованных частиц

$$\left( \frac{d^2\sigma}{\lambda\Omega dE'} \right) = \sigma_M \frac{K}{2\pi^2 \alpha \varepsilon (1 - \frac{\nu^2}{q^2})} \left\{ \sigma_T - \frac{\ell^2 q^2}{8} \sigma_S + \varepsilon \left[ \sigma_S \left( 1 - \frac{\ell^2 q^2}{8} \right) - \frac{\ell^2 q^2}{4} \sigma_T \right] \right\} \quad (2.27)$$

также отличается от обычного наличием членов, нарушающих скейлинговое поведение. Здесь использованы обычные переменные

$$\varepsilon = \frac{1}{1 + 2 \left( 1 - \frac{\nu^2}{q^2} \right) t_{ij}^2 \frac{\ell^2}{2}}, \quad (2.28)$$

$$K = \nu + \frac{q^2}{2M}$$

а  $\sigma_T$  и  $\sigma_S$  связаны с  $\tilde{W}_i$  следующим образом:

$$\sigma_T = \frac{2\pi^2 \alpha}{K} \tilde{W}_1, \quad (2.29)$$

$$\sigma_S = \frac{2\pi^2 \alpha}{K} \left[ -\tilde{W}_2 + \left( 1 - \frac{\ell^2 q^2}{4} \right) \left( 1 - \frac{\nu^2}{q^2} \right) \tilde{W}_1 \right].$$

Для измеряемого на опыте отношения  $R$  при сверхвысоких энергиях должен наблюдаться рост

$$R = \frac{\sigma_S'}{\sigma_T'} = \frac{\sigma_S \left( 1 - \frac{\ell^2 q^2}{8} \right) - \frac{\ell^2 q^2}{4} \sigma_T}{\sigma_T - \frac{\ell^2 q^2}{8} \sigma_S} \approx -\frac{1}{2} \ell^2 q^2, \quad (2.30)$$

однако, даже для  $\ell \sim \frac{1}{300} \text{ГэВ}^{-1}$  при современных  $q^2 \sim 200 \text{ГэВ}^2$ , эта величина составляет  $\sim 0,1\%$ .

### Е. Процессы с несохранением лептонного числа

Четырехфермионные взаимодействия в лагранжиане (I.7) приводят к процессам, в которых не сохраняется лептонное число:

а)  $e^- e^- \rightarrow \mu^- \mu^-$

$$(\sigma_{tot})^{e^- e^- \rightarrow \mu^- \mu^-} = \frac{7\pi \alpha^2}{24} E^2 \ell^4, \quad (2.31)$$

б)  $\mu^+ e^- \rightarrow \mu^- e^+$

$$(\sigma_{tot})^{\mu^+ e^- \rightarrow \mu^- e^+} = \frac{\pi \alpha^2}{3} E^2 \ell^4. \quad (2.32)$$

Например, для процесса а) при интенсивности пучка электронов  $n_e = 10^{18} \frac{1}{\text{с}}$  и  $E_{\text{лаг}} = 100$  ГэВ число событий в секунду дается формулой \*)

$$\frac{N}{t} = 4 \cdot 10^{53} e^4 \frac{1}{\text{с} \cdot \text{см}} \quad (2.33)$$

При  $l = 10^{-17} \text{см}$

$$\frac{N}{t} = 4 \cdot 10^{-9} \frac{1}{\text{с}}, \quad (2.34)$$

что в сутки составит  $\sim 3,45 \cdot 10^{-4}$  событий.

В случае б) оценка числа событий гораздо меньше предыдущей. Таким образом, экспериментальное измерение процессов (2.31) и (2.32) может быть делом лишь очень далекого будущего.

Авторы выражают благодарность Н.Н.Боголюбову, С.М.Биленькому, А.Д.Донкову и В.Г.Кадышевскому за интерес к работе и полезные замечания.

#### Литература

1. Kadyshevsky V.G. Nucl.Phys., 1978, B141, p. 472.
2. Kadyshevsky V.G. Fermilab - Pub-78/70-TNY, September, 1978.
3. Кадышевский В.Г., Матеев М.Д., Чижов М.В. ОИЯИ, P2-8027, Дубна, 1980.

Рукопись поступила в издательский отдел  
25 января 1980 года.

---

\*) Здесь получена оценка для электронной мишени с размером  $L_T = 1$  см, сделанной из олова.